

# РАЗДЕЛ 2.1

## Теория аэродинамики



# Теории аэродинамики

- Нелинейно вязкая, сжимаемая среда
  - ◆ Навье-Стокса
  - ◆ Модель турбулентности
  - ◆ “CFD” - вычислительная гидродинамика
  
- Нелинейная, невязкая, сжимаемая среда
  - ◆ Эйлера
  
- Безвихревая, невязкая, сжимаемая среда
  - ◆ Теория потенциала: панельный метод
  - ◆ Теория тонкого тела

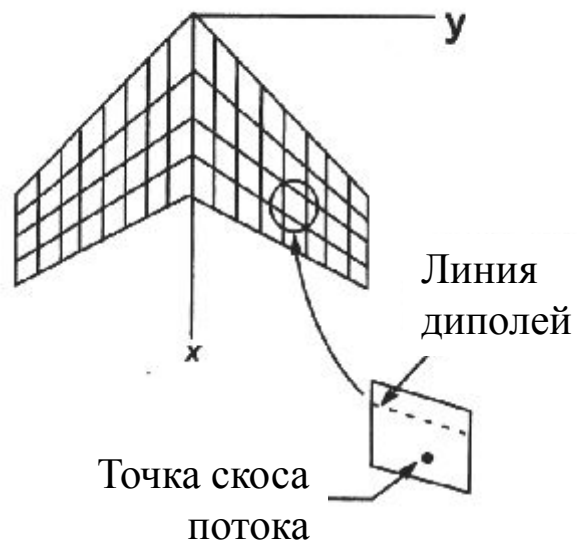
# Теория тонкого тела

- Теория тонкого тела – это упрощенная теория потенциала.
- Допускается что тело вызывает только малые, вдоль оси  $x$ , возмущения в равномерном потоке.
- Возмущение скорости, которое было внесено в невозмущенный поток, является причиной возникновения скорости касательной к поверхности тела, называемой normal wash (перпендикулярный поток) или downwash (скос потока вниз).

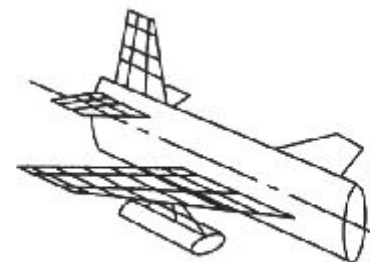
# Аэродинамическая теория в MSC.Nastran

- Все аэродинамические теории в MSC.Nastran основываются на теории тонкого тела.
- Стандартные методы
  - ◆ Метод дипольных решеток (DLM) для дозвуковых задач
  - ◆ Метод гармонического градиента (Зона51) для сверхзвуковых задач

# Метод дипольных решеток

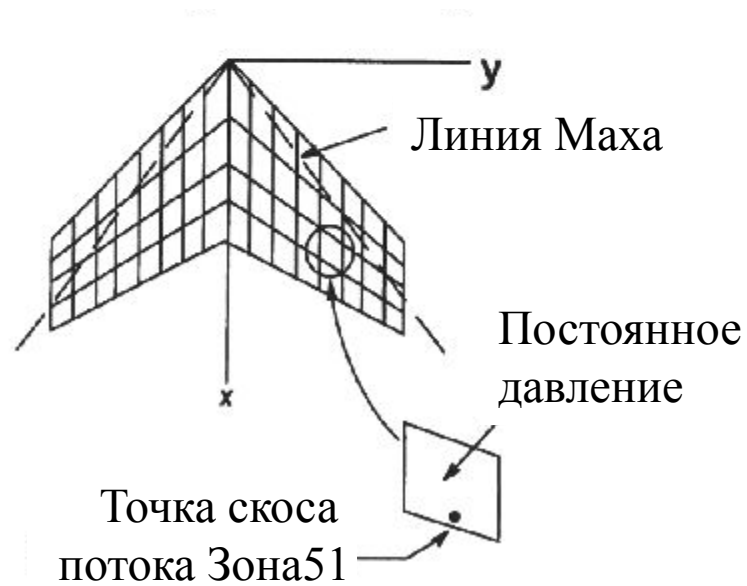


Только несущие поверхности

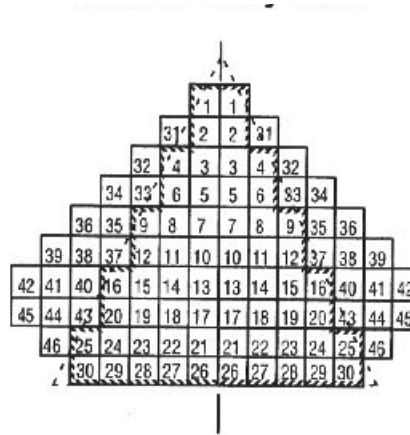


+ тонкое тело

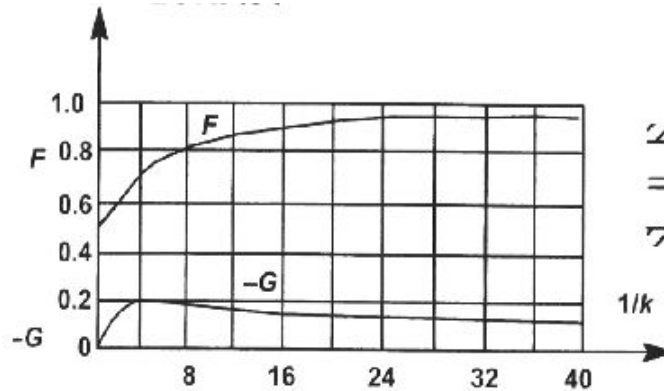
# Метод Зона51



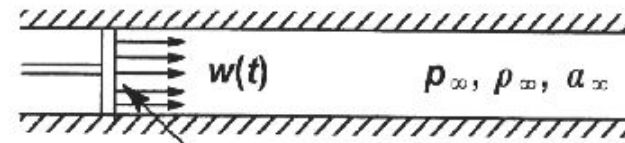
# Дополнительные теории аэродинамики в MSC.Nastran



Метод «Маховых» панелей



Теория «ленты»



Давление  $p$

Теория поршня

# Приведенная частота

- Приведенная частота это ключевой параметр в нестационарной аэродинамике

- Определяется как

$$k = \frac{\omega \bar{c}}{2V}$$

- Где

- ◆  $\omega$  циклическая частота колебаний
- ◆  $\bar{c}$  относительная длина
- ◆  $V$  скорость полета
- ◆  $1/k$  приведенная скорость
- ◆  $V/f = \pi \bar{c}/k$  расстояние пройденное за один период колебания

# Основные аэродинамические матрицы

- Матрица коэффициентов аэродинамического влияния может быть найдена через снос потока и коэффициент давления

$$\mathbf{w}_j = \mathbf{A}_{jj}(M, k) \mathbf{C}_{pj}$$

- Основная матрица дифференциалов – через снос потока и перемещения

$$\mathbf{w}_j = (\mathbf{D}_{jk}^1 + ik\mathbf{D}_{jk}^2) \mathbf{u}_k$$

- Матрица интеграллов – через аэродинамические нагрузки и коэффициент давления

$$\mathbf{F}_k = \bar{q} \mathbf{S}_{kj} \mathbf{C}_{pj}$$

# Матрица аэродинамической жесткости

- Матрица аэродинамической жесткости определяется через аэродинамические нагрузки и перемещения

$$\mathbf{F}_k = \bar{q} \mathbf{Q}_{kk}(M, k) \mathbf{u}_k$$

- Она может быть вычислена через три основные матрицы

$$\mathbf{Q}_{kk}(M, k) = \mathbf{S}_{kj} \mathbf{A}_{jj}^{-1}(M, k) \mathbf{D}_{jk}$$

# Метод дипольных решеток: источники

- Метод дипольных решеток – это расширенный метод стационарных вихревых решеток для колеблющегося потока.
- Источники:
  - ◆ Hedman, S. G., "Vortex-Lattice Method for Calculation of Quasi-Steady State Loadings on Thin Elastic Wings," Aeronautical Research Institute of Sweden, Report 105, October 1965.
  - ◆ Albano, E. and Rodden, W.P. A Doublet Lattice Method for Calculating Lift Distributions on Oscillating Surfaces in Subsonic Flows. AIAA J., Vol. 7 No. 2, pp. 279-285, 1969, and Vol. 7, No. 11, p. 2192, 1969
  - ◆ Rodden, W.P., Taylor, P.F. and McIntosh, S.C., Further Refinement of the Subsonic Doublet-Lattice Method, AIAA J. Vol. 35, No. 5, 1998
  - ◆ Blair, Max, A Compilation of the Mathematics Leading to the Doublet-Lattice Method, NASA Report WL-TM-95-302, 1994

# Метод дипольных решеток (МДР)

- МДР может быть использован для расчета несущих поверхностей в дозвуковом потоке.
- Предполагается что все несущие поверхности расположены чуть-чуть не параллельно потоку, из-за наличия малых возмущений. Используется линейная аэродинамическая теория.
- Каждая несущая поверхность делится на маленькие трапецеидальные элементы (панели).
- Панели располагаются в форме ленты (одна за другой), параллельной направлению скорости свободного потока.
- Линии перегиба и шарнирные линии необходимо располагать на границе панелей.
- Опция симметрии необходима для уменьшения размерности задачи.

# Метод дипольный решеток: теория

- Метод дипольных решеток получен путем дискретизации интегрального выражения.
- Дискретное уравнение

$$w_j(x_i, y_i) = \sum_{v=1}^n a_v C_{pv} \int_{l_v} K(x_i, y_i, x(s), y(s)) ds$$

где подинтегральная функция получена из нестационарной дозвуковой теории аэродинамики.

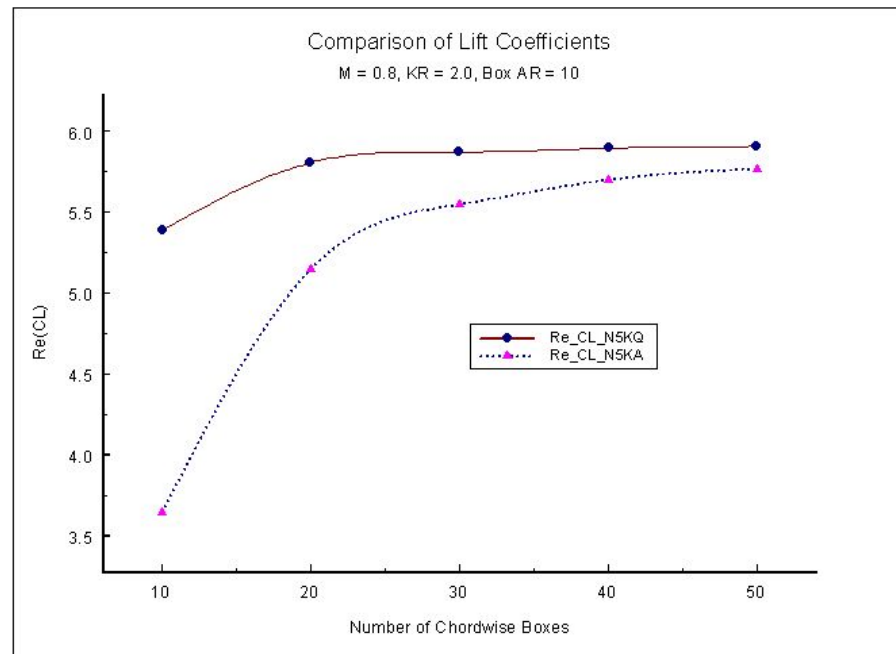
- Интеграл вычисляется с помощью высокоточной аппроксимации подинтегральной функции.

# Метод дипольный решеток : интегрирование

- Исходный программный код МДР использует параболическую аппроксимацию подинтегральной функции. Она обозначается N5KA.
- В MSC.Nastran 70.6 была применена высокоточная аппроксимация 4-й степени. Она обозначается N5KQ.
- Аппроксимация 4-й степени выбирается путем установки системной переменной cell 270 (QUARTICDLM) в значение 1. Параболическая аппроксимация используется по умолчанию.

# Метод дипольных решеток: опция N5KQ

- Эта опция обеспечивает высокоточную аппроксимацию разброса значений подинтегральной функции .



Сравнение действительной части коэффициентов подъемной силы. Отношение геометрических размеров панели (Box Aspect Ratio) = 10.0

# Метод дипольных решеток

## Принципы моделирования

- Обозначение аэродинамических панелей начинается с названия макроэлемента обозначенного CAERO1 и возрастает на единицу для последующей.



- Обозначение следует сначала вдоль потока а потом вдоль размаха крыла
- Нумерация аэродинамических узлов производится независимо от нумерации структурных узлов, скалярных и особых точек, так что допускается дублирование номеров структурной и аэродинамической моделей.
- Аэродинамические узлы не могут иметь одинаковые обозначения

# Метод дипольных решеток

## Принципы моделирования

- Угловому узлу аэродинамической панели присваивается наименьший номер из  $(NCHORD+1) \times (NSPAN+1)$ . При создании второй аэродинамической сетки, порядок номеров возрастает на 1000. Рекомендованный порядок нумерации автоматически выполняется во Flightloads.

1-я аэродинамическая сетка

102001	102005	102009	102013	102017	102021	102025
102002	102006	102010	102014	102018	102022	102026
102003	102007	102011	102015	102019	102023	102027
102004	102008	102012	102016	102020	102024	102028

2-я аэродинамическая сетка

103001	103005	103009	103013	103017	103021	103025
103002	103006	103010	103014	103018	103022	103026
103003	103007	103011	103015	103019	103023	103027
103004	103008	103012	103016	103020	103024	103028

# Метод дипольных решеток

## Принципы моделирования

- Панели обозначаются как  $k$ -множество степеней свободы. Каждая панель имеет 2 степени свободы.
- Одна панель представляет собой тонкую пластину трапецевидной формы. Два ребра должны быть обязательно параллельны направлению потока.
- Одно параллельное ребро может быть вырождено в точку.
- Панели могут иметь отношение геометрических размеров меньше 3 при использовании аппроксимации N5KA и меньше 6 при N5KQ. Возможно, что в зависимости от конфигурации, большие отношения геометрических параметров могут быть использованы в N5KA и N5KQ. При использовании больших значений рекомендуется исследовать сходимость.
- N5KA используется по умолчанию. N5KQ может быть активирован при помощи NASTRAN команды: NASTRAN QUARTICDLM = ON

# Метод дипольных решеток

## Принципы моделирования

- Пусть будет число панелей в длине волны минимум 12,5. Число панелей в длине волны:

$$= \frac{\pi c}{k\Delta x} \quad \text{or} \quad \frac{v}{f\Delta x}$$

$\Delta x$  = местная хорда  
 $c$  = базовая хорда  
 $k$  = приведенная частота  
 $f$  = циклическая частота  
 $v$  = скорость

- Однако, должно быть использовано не меньше 4-х панелей и рекомендуется всегда исследовать сходимость результатов. Во Flightloads эти расчеты будут выполняться самостоятельно.

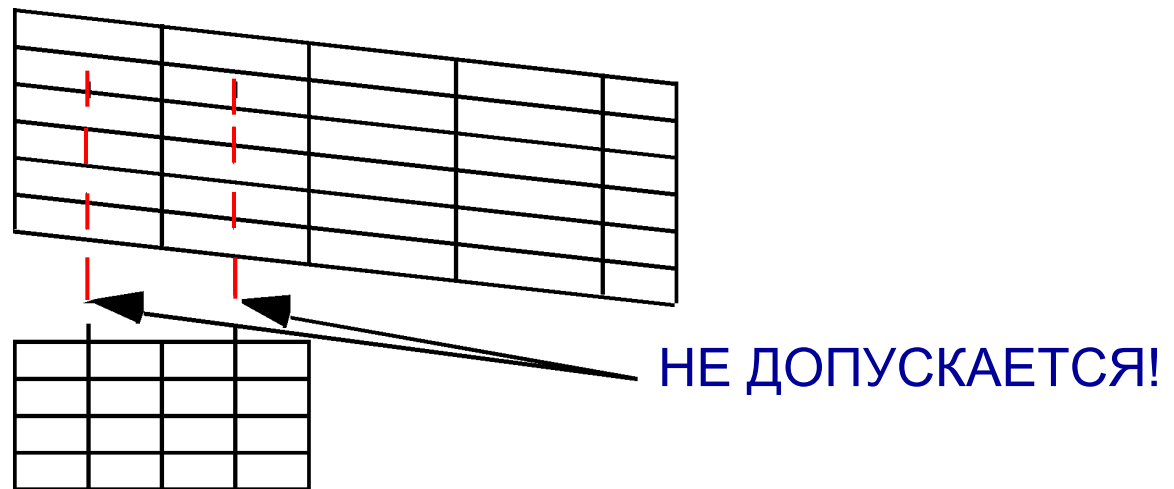
$$\Delta x < 0.08 v / f$$

- Панели должны быть сконцентрированы в области неоднородности среды, таких например как передняя кромка крыла, кромка оперения и линия шарнира.
- Используйте узкие панели на конце крыла, где нагрузка уменьшается.
- Доступные группы аэродинамической интерференции снижают затраты времени на генерацию матриц и изучение влияния поверхностей друг на друга.

# Метод дипольных решеток

## Принципы моделирования

- В случае сложных почти компланарных поверхностей не допускайте что бы среднии линии одних панелей находились на одной линии с ребрами других панелей



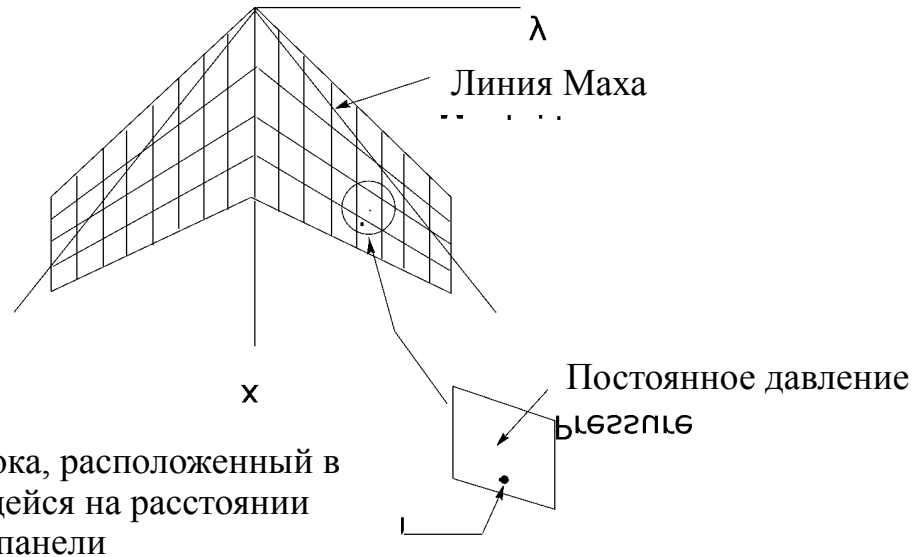
# Зона51

- Зона51 может быть использована для расчета несущих поверхностей в сверхзвуковом потоке
- Эта опция в MSC.Nastran называется Aeroelasticity II.
- Вычисляется матрица  $[A_{jj}]$
- Теория метода Зона51 описана в ниже приведенных источниках:
  - Chen, P. C. and D. D. Liu, "A Harmonic Gradient Method for Unsteady Supersonic Flow Calculations," *Journal of Aircraft*, Vol.22, No. 5, May 1985, pp. 371-379.
  - Liu, D. D., D. K. James, P. C. Chen, and A. S. Pototsky, "Further Studies of Harmonic Gradient Method for Supersonic Aeroelastic Applications," Paper 89-068, DGLR/AAAF/RAeS European Forum on Aeroelasticity and Structural Dynamics, Aachen, FRG, 17-19 April 1989.
- Предполагается что все несущие поверхности расположены чуть-чуть не параллельно потоку, из-за наличия малых возмущений. Используется линейная аэродинамическая теория.
- Каждая несущая поверхность делится на мальнькие трапецеидальные элементы (панели).

# Зона51

- Панели располагаются в форме ленты, параллельной направлению скорости свободного потока.
- Линии перегиба и шарнирные линии необходимо располагать на границе панелей.
- Опция симметрии необходима для уменьшения размерности задачи.
- Эффектом толщины пренебрегают, но можно будет приближенно посчитать коэффициенты коррекции, используя теорию сверхзвукового аэродинамического профиля второго порядка.

# Зона51.Теория



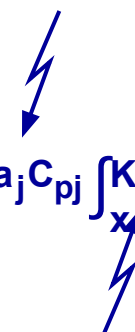
- Для сверхзвуковых скоростей
- Неизвестное давление принимается как постоянное для каждой панели
- Известные условия скоса потока заданы на расстоянии 95% от длины хорды панели в центре пролета.
- В MSC.Nastran аэродинамический узел задается на средней хорде в середине пролета

# Зона51.Теория

- Для n панелей

$$w_i = \sum_{j=1}^n a_j C_{pj} \int_{x_j} K(x_i, y_i) x_j y_j d\mu$$

Постоянная



Подинтегральная функция, получена из нестационарной сверхзвуковой теории аэродинамики

- В матричной форме (как и в МДР)

$$\{w\} = [A]\{C_p\}$$

- Интеграл вычисляется при помощи высокоточной аппроксимации подинтегральной функции

# Метод постоянного давления

- Эта опция в пакете Aero 1 предназначена для вычисления матрицы  $A_{ji}$  при сверхзвуковых расчетах.
- Такая же опция устанавливается для метода Зона51
- Такие же принципы принципы
- Не часто применялся, поэтому будьте осторожны при использовании
- Установки:
  - ◆ PARAM, SUPAERO, CMP or ZONA (default).
- Источники:
  - ◆ Appa, K and Smith, M.J.C., "Evaluation of the Constant Pressure Panel AIAA/ASME/ASCE/AHS 29<sup>th</sup> Structures, Structural Dynamics and Materials Conference, Williamsburg Virginia, April 1988.

# Дозвуковое крыло – теория интерференции тел

- Теория тонкого тела для изолированного тела имеет большую историю. Существует свыше двухсот статей по этой тематике, список литературы можно посмотреть в журнале
  - ◆ Revell, J. D., "Second-Order Theory for Steady or Unsteady Subsonic Flow Past Slender Lifting Bodies of Finite Thickness," AIAA Journal, Vol. 6, No. 6, June 1969, pp. 1070-1078.
- В применяемой теории тонкого тела отображаются несущие характеристики каждого тела. Нагрузка пропорциональна коэффициенту площади поперечного сечения.
- Взаимное влияние тел использует метод суперпозиции сингулярностей и их подобия.
- Тела имеют продольную ( $y$ ) и вертикальную ( $z$ ) степень свободы.
- Первоначально интерференция крыло-тело рассчитывалась для систем подобия с вихрями из МДР и диполями на цилиндрическом интерференционном теле, описанном как узкое тело (Метод подобия Гисенга).

# Дозвуковое крыло – теория интерференции тел

- ♦ Однородное уравнение для скоса потока

$$\begin{Bmatrix} w_w \\ \mathbf{0} \\ w_s \end{Bmatrix} = \begin{bmatrix} A_{ww} & A_{wr} & A_{ws} \\ A_{lw} & A_{lr} & A_{ls} \\ \mathbf{0} & \mathbf{0} & A_{ss} \end{bmatrix} \begin{Bmatrix} C_w \\ \mu_r \\ \mu_s \end{Bmatrix}$$

- где  $w_w$  = скос потока на панели крыла расположенный на расстоянии 0.75 длины хорды от носка

$w_l = 0$  = скос потока для инетерферирующих элементов вносит сингулярность одних тонких элементов на другие

$w_s$  = скос потока для элемента узкого тела

$C_w$  = силы, расположенные вдоль панели крыла на расстоянии 0.25 хорды

$\mu_r$  = диполи остаточного течения

$\mu_s$  = диполи тонкого тела

# Дозвуковое крыло – теория интерференции тел

- Уравнение для силовых факторов

$$\begin{Bmatrix} f_w \\ f_s \end{Bmatrix} = \begin{bmatrix} S_{ww} & 0 & 0 \\ S_{sw} & S_{sr} & S_{ss}G \end{bmatrix} \begin{Bmatrix} C_w \\ \mu_r \\ \mu_s \end{Bmatrix}$$

- где  $S_{ww}$  = площадь панели

$G, S_{sw}, S_{sr}, S_{ss}$  = матрицы, используемые для получения массовых сил (смотри раздел 2.6.3 of Giesing, J.P., Kalman, T.P., and Rodden, W.P., "Subsonic Unsteady Aerodynamics for General Configurations; Part II, Vol. 1, - Application of the Doublet-Lattice method and the Method of Images to Lifting-Surface/Body Interference," Air Force Flight Dynamics Laboratory Report No. AFFDL-TR-71-5, Part II, Vol. 1, April 1972)

# Дозвуковое крыло – теория интерференции тел

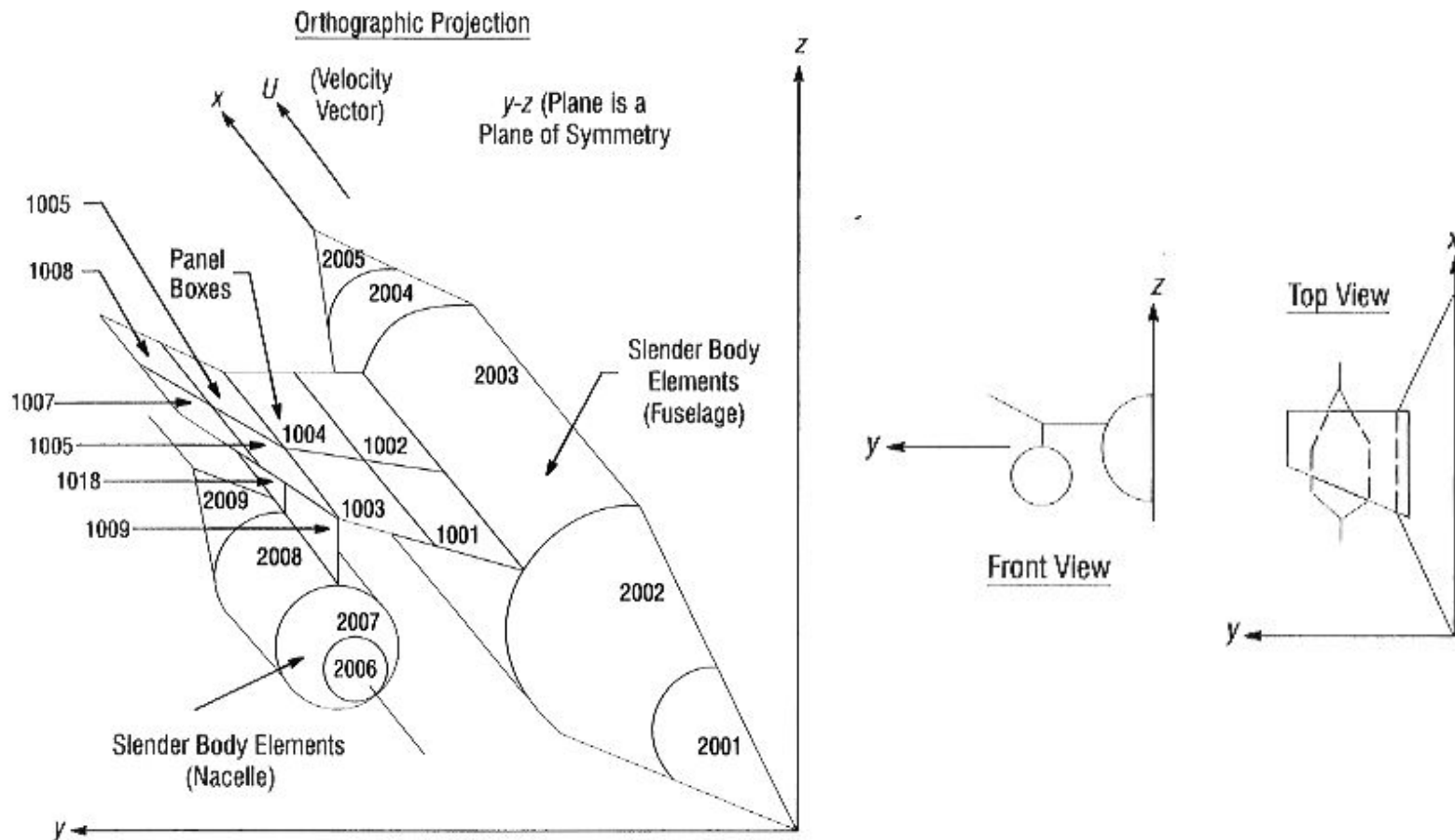


Рисунок 3-1а. Изображены панели и элементы тонких тел. N5КА Бомбардировщик. 3 поверхности, 10 панелей

# Дозвуковое крыло – теория интерференции тел

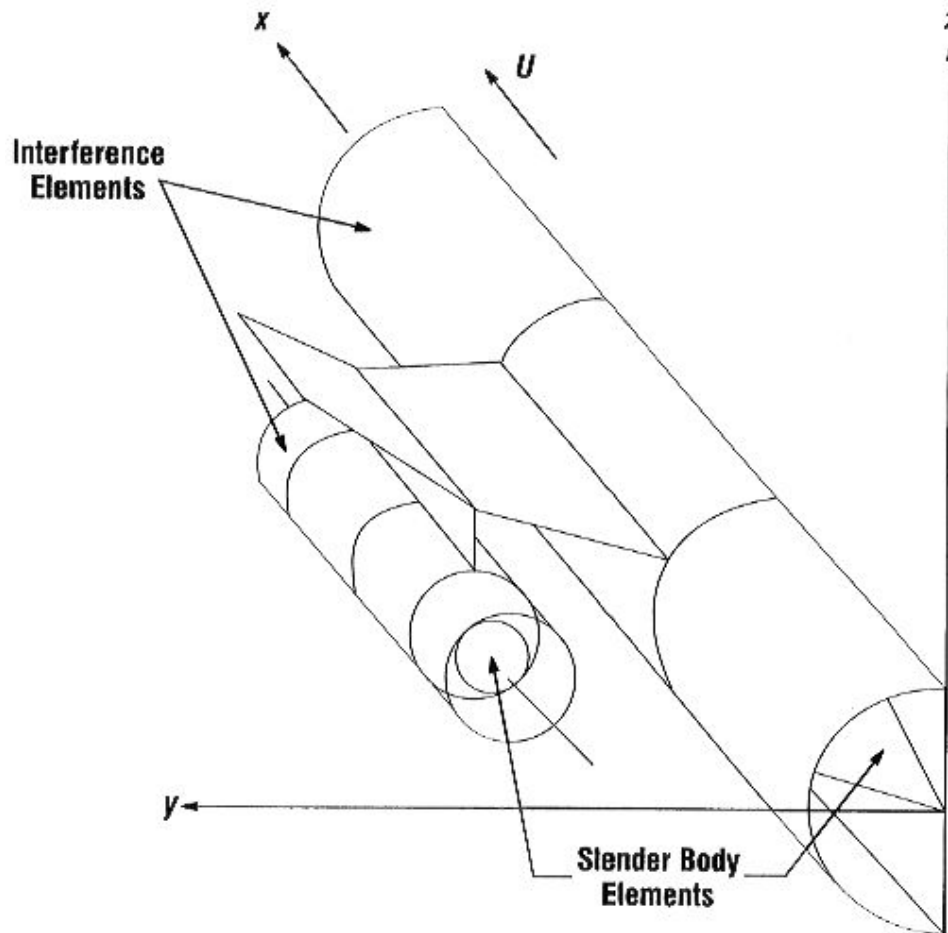
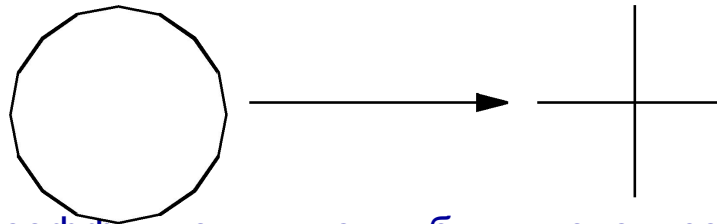


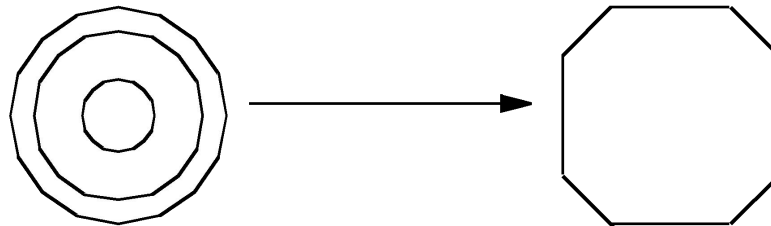
Рисунок 3-2b. Изображены интерференционные элементы. N5КА Бомбардировщик  
3 поверхности, 10 панелей, 2 тела, 9 тонкотельных элементов и 7  
интерференционных элементов

# Альтернатива для тел

- Сложность моделирования замкнутых тел может быть устранена заменой их крестообразными несущими поверхностями



- Весовые коэффициенты могут быть использованы для понижения эффективности несущих поверхностей
- Кольцеобразные крылья могут быть использованы вместо гондол со сквозным отверстием



- Эти технические приемы мотивируются тем фактом что удельный массовый расход через тело равен 0.7